

مطالعه عددی انتقال نانوذرات در جابه‌جایی طبیعی نانوسيال آب- اکسید آلومینیوم با خواص متغیر در یک محفظه مربعی

قنبعلی شیخزاده^{۱،۲*} و مجید دستمالچی^۱

۱. گروه حرارت و سیالات، دانشکده مهندسی مکانیک، دانشگاه کاشان
۲. پژوهشکده انرژی، دانشگاه کاشان

(دریافت مقاله: ۱۳۹۰/۰۵/۱۶ - دریافت نسخه نهایی: ۱۳۹۱/۰۵/۱۶)

-چکیده-

واژگان کلیدی:

*: مسئول مکاتبات، پست الکترونیکی: sheikhz@kashanu.ac.ir

Numerical study of nanoparticles transport in natural convection of water-Al₂O₃ nanofluid with variable properties in a square enclosure

G. A. Sheikhzadeh^{1&2} and M. Dastmalchi¹

1. Department of Mechanical Engineering, Faculty of Engineering, University of Kashan,
2. Energy Research Institute, University of Kashan

Abstract: In this numerical study, flow field, heat transfer and nanoparticles transport in Al₂O₃-water nanofluid natural convection in a square cavity are investigated. The governing equations are discretized using the control volume method. Transport mechanisms including Brownian diffusion and thermophoresis that cause heterogeneity are considered in nanoparticles transport model. It is shown that a better agreement with experimental results is achieved considering the transport model compared to the homogeneous model with equivalent properties. Transport mechanisms of nanoparticles affect buoyancy force and reduce heat transfer and cause formation of a small vortex near the top and bottom walls of the cavity.

Keywords: Numerical Study, Transport model, Thermophoresis, Brownian diffusion, Natural convection

| | | مختصات با بعد | x, y |
|-------------------------------|----------|------------------------|----------|
| نانوسیال | Nf | علائم یونانی | |
| نانوذرات | p | ضریب پخش گرما | α |
| انتقال | T | ضریب انبساط گرمایی | β |
| پالانویس‌ها | | کسر حجمی نانوذرات | ϕ |
| متوسط | $\bar{}$ | کسر حجمی نسبی | Φ |
| گرمای ویژه در فشار ثابت | c_p | ویسکوزیته دینامیک | μ |
| ثابت بی بعد پارامتر ترموفرسیس | C_s | (kg/m ³) | ρ |
| قطر ذرات | d | دماهی بی بعد | Θ |
| ضریب پخش براونی | D_B | ویسکوزیته سینماتیک | ν |
| ضریب پخش ترموفرسیس | D_T | تابع جریان جرمی با بعد | Ψ |
| شتاب گرانش | g | تابع جریان جرمی بی بعد | Ψ |
| ضریب انتقال حرارت محلی | h | زیرنویس‌ها | |
| بردار شار ذرات | J_p | دماهی مرجع | 0 |
| ضریب هدایت حرارتی | k | بالک | b |
| ثابت بولتزمن | k_B | سرد | C |
| عرض و ارتفاع محفظه | L | سیال پایه | f |
| نسبت پخش براونی به ترموفرسیس | N_{BT} | گرم، همگن | H |

| | | | |
|-------------------|--------|---------------------|------|
| پارامتر ترموفرسیس | S_T | عدد ناسلت | Nu |
| دماهی با بعد | T | بردار نرمال | n |
| مؤلفه‌های سرعت | u, v | فشار | P |
| سرعت‌های بدون بعد | U, V | عدد پرانتل | Pr |
| مختصات بدون بعد | X, Y | عدد رایلی | Ra |
| | | عدد رینولذ نانوذرات | Re |

۱- مقدمه

گرمایی با افزایش درصد حجمی نانوذرات در هر عدد گراشـف افزایش می‌یابد. جو و تزدنگ [۵] و ازتب و ابوندا [۶] نیز نتایج مشابه خانافر و همکاران را به دست آورده‌اند. ابوندا و همکاران [۷] نانوسیال با خواص متغیر در یک محفظه را مطالعه کردند. آنها دریافتند که برای نانوسیال آب-اکسید آلمینیوم با افزایش درصد حجمی نانوذرات، عدد ناسلت در رایله‌های بالا کاهش و در رایله‌های پایین افزایش می‌یابد. شیخزاده و همکاران [۸] جابه‌جایی طبیعی نانوسیال آب-اکسید مس را در محفظه مربعی با وجود منبع گرم و سرد روی دیواره‌های عمودی به صورت عددی بررسی کردند و گزارش کردند که انتقال گرما با افزایش کسر حجمی نانوذرات افزایش می‌یابد. شیخزاده و محمودی [۹] جابه‌جایی طبیعی به وجود آمده از دو و سه جفت جزء سرد و گرم قرار گرفته بر روی دیواره‌های محفظه مربعی پر شده از نانو سیال آب-نقره را بررسی کردند. آنها به این نتیجه رسیدند که انتقال گرما با تعداد گرداده‌ها درون محفظه افزایش می‌یابد و تأثیر استفاده از نانوسیال بر افزایش انتقال گرما، بیشتر از تأثیر چند سلوی بودن ساختار جریان است.

مطالعات تجربی نشان می‌دهند که مدل همگن برای پیش‌بینی انتقال گرمای نانوسیال مناسب نیست. پوترا و همکاران [۱۰] جابه‌جایی طبیعی دو نانوسیال آب-اکسید آلمینیوم و آب-اکسید مس در یک استوانه افقی را به صورت گرمایی تجربی مورد مطالعه قرار دادند. آنها دریافتند که عدد ناسلت در این نانوسیال‌ها با افزایش کسر حجمی نانوذرات کاهش می‌یابد. ون و دینگ [۱۱] به بررسی تجربی انتقال گرمای جابه‌جایی طبیعی نانوسیال آب-اکسید تیتانیوم بین دو دیسک پرداختند و

عملکرد بالای خنک کاری، یکی از نیازهای حیاتی بسیاری از صنایع است. ضریب هدایت گرمایی پایین یکی از محدودیتهای اولیه برای افزایش کارامدی سیالات رایج در سیستمهای حرارتی است. هدایت گرمایی این گونه سیالات را می‌توان با افزودن نانوذرات به آنها افزایش داد. سیال مخلوط حاصل، نانوسیال نام گرفته که از سوپرانسیون کردن نانوذرات با اندازه متوسط زیر 100 نانومتر در سیالات پایه مانند آب، روغن و اتیلن گلیکول ساخته می‌شود. محققان زیادی [۳-۱] بیان کرده‌اند که با افزودن نانوذرات با کسر حجمی کم (10%) می‌توان ضریب هدایت گرمایی نانوسیال را تا حدود 20% افزایش داد. اگرچه هدایت گرمایی بالا یک عامل دلگرم کننده است، اما دلیلی برای افزایش ظرفیت خنک کاری چنین سیالی نیست. برای اطمینان از افزایش ظرفیت خنک کاری نانوسیالات، عملکرد آنها در شرایط جابه‌جایی باید به اثبات برسد.

مدلهای متعددی برای بررسی گرمای جابه‌جایی نانوسیال ارائه شده است که در قالب مدل همگن، مدل ناهمگن و مدل پراکنده‌گی قابل تقسیم است. در مدل همگن فرض می‌شود که نانوسیالات مانند یک سیال معمولی رفتار می‌کند و تمام معادلات معمول حاکم بر جریان سیال شامل بقای جرم، منتم و انرژی با در نظر گرفتن خواص معادل برای نانوسیال استفاده می‌شود. اکثر محققان از مدل همگن برای مطالعه جریان نانوسیال استفاده کرده‌اند.

خانافر و همکاران [۴] به بررسی نانوسیال آب-اکسید مس در یک محفظه مربعی پرداخته‌اند. آنها گزارش کردند که انتقال

یعنی حرکت براونی، ترموفرسیس و دوفور برای انتقال گرمای جابه‌جایی طبیعی نانوسيال را به صورت تحلیلی مورد بررسی قرار دادند و نشان دادند که اثر دوفور انتقال گرما را نسبت به مدل همگن کاهش می‌دهد. آنان با مقایسه داده‌های تجربی و مقادیر تخمینی برای عدد ناسلت سازگاری خوبی را گزارش کردند. آنها بعضی از اثرات مانند جابه‌جایی طبیعی دوگانه (ناشی از پخش گرما و جرم) و تغییر خواص ناشی از وجود گرادیان کسر حجمی را در نظر نگرفتند.

مکانیزم‌های انتقال ذرات در مسائل مختلف انتقال گرما و جرم برای سیالات مختلف بررسی شده است. ویور و ویسکانتا [۱۸] انتقال گرمای جابه‌جایی طبیعی و انتقال جرم یک مخلوط برای یک مخلوط دوتایی در یک محفظه را مورد مطالعه قرار دادند. آنان به این نتیجه رسیدند که ترموفرسیس و دوفور انتقال گرما را افزایش می‌دهند، ولی به علامت ضرب دوفور بستگی دارد. نیشادوی و یانگ [۱۹] به بررسی انتقال گرمای جابه‌جایی طبیعی دوگانه در یک محفظه مربعی با منابع گرمایی همراه با تأثیر سورت و دوفور پرداختند. آنها به این نتیجه رسیدند که برای حالتی که غلظت دیوار گرم کمتر از دیوار سرد است، ترموفرسیس انتقال گرما را کاهش و دوفور انتقال گرما را افزایش می‌دهد.

در کار حاضر، اثرات ترکیبی مکانیزم‌های انتقال نانوذرات شامل حرکت براونی و ترموفرسیس تحت عنوان مدل انتقال در جابه‌جایی طبیعی نانوسيال آب-اکسید آلومینیوم در یک محفظه مربعی به صورت عددی بررسی می‌شود. این مکانیزم‌ها قبل در مراجع [۱۸-۱۶] به صورت تحلیلی بررسی شده و در منابع علمی قابل دسترس به صورت عددی مورد مطالعه قرار نگرفته است. نتایج عددی با داده‌های تجربی هو و همکاران [۱۲] مقایسه و توانایی مدل انتقال در پیشگویی رفتار جابه‌جایی آزاد نانوسيال بررسی می‌شود.

۲- خواص نانوسيال

تاکنون مطالعات زیادی در مورد ارزیابی خواص نانوسيالات

همان نتایج پوترا و همکاران [۱۰] را به دست آورده‌اند. هو و همکاران [۱۲] به بررسی تجربی جابه‌جایی آزاد نانوسيال آب-اکسید آلومینیوم در سه نوع محفظه مربع شکل با ابعاد مختلف به همراه اندازه‌گیری تجربی کلیه خواص ترموفیزیکی نانوسيال پرداختند و اظهار داشتند که افزایش یا کاهش غیر عادی انتقال گرما را تنها با خواص ترموفیزیکی نانوسيال به طور ساده نمی‌توان توضیح داد. آنها دلایل ممکن برای این رفتار غیر عادی را مورد بحث و بررسی قرار دادند و توضیح دادند که اثر کسر حجمی متغیر که بر اثر انتقال نانوذرات به وجود می‌آید در جابه‌جایی طبیعی نانوسيال می‌تواند مهم باشد.

مکانیزم‌های متعددی مانند حرکت براونی و ترموفرسیس برای انتقال ذرات در سوسپانسیون وجود دارد. حرکت براونی پس از تحقیقات گیاه شناس، رابرт براون، بدین نام خوانده شد و حرکت تصادفی ذرات در سیال است [۱۳]. گرادیان دما می‌تواند با فرایندی بنام ترموفرسیس یا پخش گرمایی یا سورت باعث شار جرمی شود. این پدیده برای اولین بار توسط جان تیندال [۱۴] در سال ۱۸۷۰ مشاهده و گزارش شد. گرادیان کسر حجمی می‌تواند انتقال گرمایی به نام گرمای پخشی یا اثر دوفور تولید کند. اثر دوفور معمولاً کوچک و صرف نظرپذیر است [۱۵].

بونجیورنو [۱۶] هفت نوع مکانیزم انتقال نانوذرات که باعث لغزش میان نانوذرات و سیال پایه می‌شود را معرفی کرد و با استفاده از تحلیل ابعادی و مقایسه زمانهای نفوذ نشان داد که ترموفرسیس و حرکت براونی از اهمیت بیشتری نسبت به سایر مکانیزم‌ها برخوردار است. او به صورت تحلیلی افزایش غیرعادی عدد ناسلت در جابه‌جایی اجباری نانوسيال را در یک کانال بررسی کرد و توضیح داد که افزایش انتقال گرمای جابه‌جایی در اثر کاهش ویسکوزیته در اثر انتقال نانوذرات در لایه مرزی به وجود می‌آید. بونجیورنو اثر دوفور را بر انتقال گرما مورد بررسی قرار نداد و نتیجه‌گیری کرد که پراکندگی نانوذرات که به صورت یک جمله به معادله انرژی اضافه می‌شود، اثری بر انتقال گرما ندارد.

پاکروان و یعقوبی [۱۷] مکانیزم‌های مختلف انتقال نانوذرات

خطای ۱/۸۶٪ برای هدایت گرمایی ارائه داد:

$$\frac{k_{nf}}{k_f} = 1 + 4.4 Re^{0.4} Pr^{0.66} \left(\frac{T}{T_{fr}} \right)^{10} \left(\frac{k_p}{k_f} \right)^{0.03} \phi^{0.66} \quad (3)$$

در اینجا Re و Pr به صورت زیر تعریف می‌شوند:

$$Pr = \frac{\mu_f}{\rho_f \alpha_f} \quad (4)$$

$$Re = \frac{2\rho_f k_B T}{\pi \mu_f^2 d_p} \quad (5)$$

مدل کورشیونه در محدوده وسیعی از نانوذرات شامل اکسید آلومینیوم، اکسید مس، اکسید تیتانیوم و مس، سیالات پایه شامل آب و اتیلن گلیکول، قطر نانوذرات در محدوده 10 nm تا 150 nm ، کسر حجمی در محدوده $0/002$ تا $0/09$ و دما در محدوده 294 K تا 324 K ارائه شده است.

مدل کورشیونه برای ویسکوزیته به این صورت است:

$$\frac{\mu_{nf}}{\mu_f} = \frac{1}{1 - 34.87 \left(\frac{d_p}{d_f} \right)^{-0.3} \phi^{1.03}} \quad (6)$$

ویسکوزیته سیال پایه (آب) متغیر با دما فرض می‌شود و از برازش منحنی بر داده‌های تجربی [۲۸] مطابق معادله زیر به دست می‌آید:

$$\mu_f = 562.77 \left(\ln(T + 62.756) \right)^{-8.9137} \quad (7)$$

مدل کورشیونه برای ویسکوزیته در محدوده وسیعی از نانوذرات شامل اکسید آلومینیوم، اکسید سیلیسیم، اکسید تیتانیوم و مس، سیالات پایه شامل آب و اتیلن گلیکول، پروپیلن گلیکول و اتانول، قطر نانوذرات در محدوده 25 nm تا 200 nm ، کسر حجمی در محدوده $0/0001$ تا $0/071$ و دما در محدوده 293 K تا 333 K ارائه شده است.

در شکل (۱) ضریب هدایت گرمایی نانوسیال بر حسب دما برای کسر حجمی‌های مختلف با استفاده از مدل کورشیونه [۲۷] و داده‌های تجربی هو و همکاران [۱۲] و مدل‌های کلاسیک بر حسب دما در کسر حجمی‌های مختلف مقایسه شده است. این شکل تطابق نسبتاً خوبی بین مدل کورشیونه و داده‌های آزمایشگاهی هو و همکاران نشان می‌دهد. شکل (۱-الف) نشان می‌دهد که مدل ماکسول حتی در دمای اتاق نیز هدایت

بر حسب خواص سیال پایه و نانوذرات انجام و مدل‌های متعددی ارائه شده است. هو و همکاران [۱۲] به صورت آزمایشگاهی خواص ترموفیزیکی نانوسیال آب-اکسید آلومینیوم را اندازه گرفته‌اند. آنها از نانوذراتی با اندازه 33 نانومتر و آب بسیار خالص به عنوان سیال پایه استفاده کردند و کلیه خواص ترموفیزیکی شامل اندازه نانوذرات، ویسکوزیته دینامیکی، هدایت گرمایی و دانسیته را به صورت تابعی از دما و همچنین کسر حجمی نانوذرات اندازه گیری کردند.

دانسیته نقش بسیار مهمی در انتقال گرمای جابه‌جایی طبیعی دارد. زیرا منشاء جابه‌جایی طبیعی نیروی شناوری و گرادیان چگالی است. خانافر و وفایی [۲۰] یک معادله برای دانسیته نانوسیال آب-اکسید آلومینیوم با استفاده از داده‌های تجربی هو و همکاران به صورت تابعی از دما و کسر حجمی نانوذرات ارائه کردند:

$$\rho_{nf} = 1001.064 + 2738.6191\phi - 0.2095T \quad (1)$$

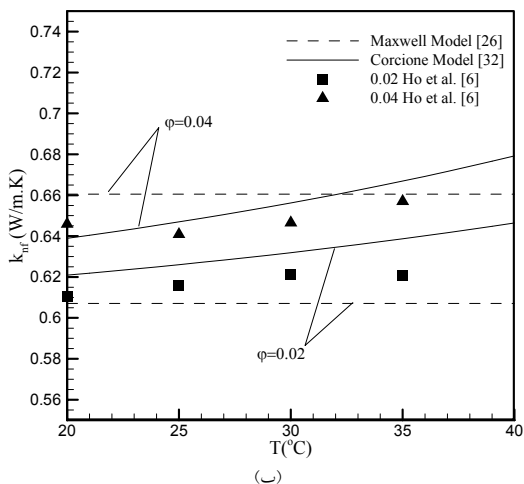
این معادله برای کسر حجمی در محدوده $0/04$ تا $0/071$ و دما در محدوده 5 تا 40 درجه سانتیگراد ارائه شده است.

گرمای ویژه نانوسیال با فرض تعادل گرمایی بین نانوذرات و سیال پایه به صورت زیر تعیین می‌شود [۲۰]:

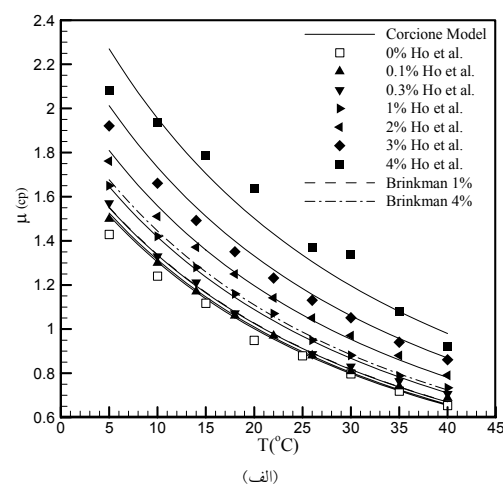
$$(c_p)_{nf} = \frac{(1-\phi)(\rho c_p)_f + \phi(\rho c_p)_p}{(1-\phi)(\rho)_f + \phi(\rho)_p} \quad (2)$$

این مدل تطابق خوبی با داده‌های تجربی دارد. داده‌های آزمایشگاهی نشان می‌دهد که مدل‌های کلاسیک مانند مدل ماکسول [۲۱] و همیلتون [۲۲] کروسر برای ارزیابی هدایت گرمایی و مدل ایستین [۲۳] و [۲۴] و بریکمن [۲۵] و بچلر [۲۶] برای ارزیابی ویسکوزیته از دقت مناسبی برخوردار نیستند؛ چراکه این مدل‌ها مکانیزم‌های مهم انتقال گرمای مانند حرکت براونی را به حساب نمی‌آورند. این مدلها تنها اثر غلظت نانوذرات را شامل می‌شوند و دما و قطر ذرات را شامل نمی‌شوند.

کورشیونه [۲۷] با استفاده از تحلیل رگرسیونی بر محدوده وسیعی از داده‌های آزمایشگاهی معتبر، مدل تجربی زیر را با



(ب)



(الف)

شکل ۱- (الف) تغییرات ویسکوزیته بر حسب دما: مقایسه بین مدل کورشیونه برای درصدهای حجمی ۰ تا ۴٪ (خطوط پر به ترتیب از پایین به بالا) با داده‌های تجربی هو و همکاران [۱۲] (نقاط) و مدل برینکمن (خط چین و خط نقطه)

(ب) تغییرات هدایت گرمایی بر حسب دما: مقایسه بین مدل کورشیونه برای درصدهای حجمی ۰/۰۲ و ۰/۰۴٪ (خطوط پر به ترتیب از پایین به بالا) با داده‌های تجربی هو و همکاران [۱۲] (نقاط) و مدل ماکسول (خط چین)

همکاران [۷] نیز بررسی شده است.

خواص ترموفیزیکی سیال پایه و نانوذرات در دمای ۲۹۵ کلوین در جدول (۱) [۲۹] نشان داده شده است.

۳- مکانیزم‌های انتقال

حرکت اتفاقی نانوذرات در سیال پایه حرکت براونی نامیده می‌شود، و از برخورد مداوم بین نانوذرات و مولکولهای سیال پایه ناشی می‌شود. حرکت براونی در مقیاس میکروسکوپی به شار پخشی در مقیاس ماکروسکوپی می‌انجامد. ضریب نفوذ براونی، D_B ، با استفاده از قانون استوکس محاسبه می‌شود [۱۶]:

$$D_B = \frac{k_B T}{3\pi\mu_f d_p} \quad (8)$$

پدیده‌ای که در آن ذرات به واسطه گرادیان دما تحت تاثیر نیروی ترموفوتیک انتقال می‌یابند، ترموفرسیس نامیده می‌شود. ایتنکن [۳۰] با انجام یک سری آزمایشات ثابت کرد که ذرات باید از سطح گرم توسط اختلاف بمباران مولکولهای گاز در اثر گرادیان دما دور شوند. سیال در حال حرکت نزدیک سطح داغ انرژی جنبشی

جدول ۱- خواص ترموفیزیکی سیال پایه و نانوذرات [۲۹]

| خواص ترموفیزیکی | آب | اکسید آلومینیوم |
|----------------------------------|-------|-----------------|
| $c_p(\text{J/kg.K})$ | ۴۱۷۹ | ۷۶۵ |
| $\rho(\text{kg/m}^3)$ | ۹۹۷/۸ | ۳۹۷۰ |
| $K(\text{W/m.K})$ | ۰/۰۹ | ۴۰ |
| $\beta \times 10^4 (\text{1/K})$ | ۲/۳ | ۰/۸۵ |
| $d_p \times 10^9 (\text{m})$ | ۰/۳۸۴ | ۳۳ |

گرمایی نانوسیال را به درستی پیش بینی نمی‌کند. شکل (۱- ب) نشان می‌دهد که مدل برینکمن تنها در کسر حجمی‌های کوچک (در حدود ۰٪) ویسکوزیته را درست پیش بینی می‌کند. ویسکوزیته نانوسیال نقش کلیدی در پیش بینی انتقال گرمای نانوسیال دارد. با توجه به اینکه مدل برینکمن ویسکوزیته نانوسیال را مقدار کمتری پیش بینی می‌کند دلیل اختلاف انتقال گرمای جابه جایی طبیعی در مراجع [۴-۸] استفاده از مدل‌های کلاسیک برای ویسکوزیته است. اختلاف مدل‌های کلاسیک و خواص متغیر در انتقال گرما توسط ابوندا و

نانوسیال به عنوان مخلوط دو جزئی فرض می‌شود و پیوسته، مخلوط رقیق، نیوتینی با خواص فیزیکی متغیر با دما و کسر حجمی در نظر گرفته می‌شود. دانسیته نانوسیال به صورت متغیر و بدون استفاده از تقریب بوزینسک در نظر گرفته می‌شود. از کار تراکم و پراکندگی و تلفات لرجی در معادله انرژی چشم پوشی و هدایت گرمایی با قانون فوریه بیان می‌شود. همچنین نانوذرات در تعادل گرمایی با سیال پایه هستند و هیچ نیروی خارجی، منبع گرمایی، واکنش شیمیایی و انتقال گرمای تابشی در این مسئله وجود ندارد.

متغیرهای بی بعد به صورت زیر تعریف می‌شوند:

$$X = \frac{x}{L}, Y = \frac{y}{L}, U = \frac{u}{\alpha_{f0}/L}, V = \frac{v}{\alpha_{f0}/L} \quad (2)$$

$$\theta = \frac{T - T_C}{\Delta T}, \Psi = \frac{\psi}{\rho_f \alpha_{f0}}, \Phi = \frac{\phi}{\phi_b}$$

با توجه به اینکه دانسیته نانوسیال با دما و کسر حجمی متغیر است، مقدارتابع جریان به صورت زیر محاسبه می‌شود:

$$\rho_{nf} u = - \frac{\partial \Psi}{\partial y} \Rightarrow \Psi(x, y) = - \int \rho_{nf} u dx + \Psi_0 \quad (13)$$

اعداد بی بعد به صورت زیر تعریف می‌شوند:

$$Ra = \frac{g \beta_{f0} \Delta T L^3}{\alpha_{f0} v_{f0}} \quad (14)$$

$$Nu = \frac{hL}{kf}, \bar{Nu} = \frac{\bar{h}L}{k_f} \quad (15)$$

که در آن h از معادله زیر محاسبه می‌شود:

$$h = \frac{-k_{nf} \left. \frac{\partial T}{\partial x} \right|_{x=0}}{\Delta T} \quad (16)$$

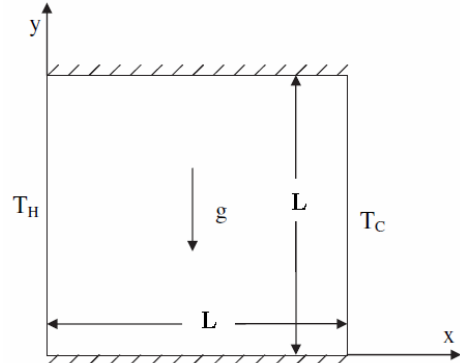
و ضریب جابه‌جایی متوسط از انتگرال گیری ضریب جابه‌جایی موضعی در طول دیوار مطابق رابطه زیر به دست می‌آید.

$$\bar{h} = \frac{1}{L} \int_0^L h dy \quad (17)$$

نسبت نفوذ برآونی به ترموفرسیس به صورت زیر تعریف می‌شود:

$$N_{BT} = \frac{\phi_b D_B}{D_T \Delta T} = \frac{K_B \rho_f}{3\pi S_T \mu_f^2 d_p} \frac{T^2}{\Delta T} \quad (18)$$

معادلات حاکم با فرض متغیر بودن خواص نوشتہ می‌شود.



شکل ۲- هندسه مسئله و شرایط مرزی

بیشتری نسبت به سیال در حال حرکت نزدیک سطح سرد دارند، که منجر به یک نیروی خالص روی ذرات می‌شود. این نیروی خالص نیروی ترموفورتیک نامیده می‌شود [۳۱]. برای نانوذرات در محدوده $0 \leq \bar{h} \leq 100$ نانومتر عدد نادس نسبتاً کوچک است و فرض پیوستگی منطقی است. به این ترتیب ضریب ترموفرسیس را می‌توان به صورت زیر محاسبه کرد [۱۶]:

$$D_T = S_T \frac{\mu_f}{T \rho_f} \phi \quad (2)$$

که S_T پارامتر ترموفرسیس بوده و برای سوسپانسیون (مخلوط) ذرات در اندازه میکرون از معادله (۱۰) محاسبه می‌شود. پارامتر ترموفرسیس فقط به هدایت گرمایی ذرات و سیال پایه بستگی دارد. مatasفانه هنوز اطلاعات کاملی در مورد پارامتر ترموفرسیس نانوسیال در دسترس نیست.

$$S_T = C_s \frac{1}{1 + k_p / 2k_f} \quad (10)$$

شار جرمی نانوذرات را می‌توان مجموع شار جرمی در اثر ترموفرسیس و حرکت برآونی نوشت:

$$j_p = -D_B \nabla \phi - D_T \nabla T \quad (11)$$

۴- معادلات حاکم و شرایط مرزی

شکل (۲) نمودار شماتیک هندسه حل و شرایط مرزی را نشان می‌دهد. ارتفاع و عرض محفظه L است. دیوار سمت چپ گرم و در دمای ثابت T_H و دیوار سمت راست سرد و در دمای T_C است. دیوار بالایی و پایینی عایق است.

راست) و ترموفورسیس (جمله دوم سمت راست) در نانوسيال انتقال می‌ياند.

شرط مزی برای معادلات (۱۹) تا (۲۳) به صورت زیر است:

$$x = L, v = u = 0, T = T_C, j_p \cdot n = 0 \Rightarrow \frac{\partial \phi}{\partial x} = -\frac{D_T}{D_B} \frac{\partial T}{\partial x}$$

$$x = 0, v = u = 0, T = T_H, j_p \cdot n = 0 \Rightarrow \frac{\partial \phi}{\partial x} = -\frac{D_T}{D_B} \frac{\partial T}{\partial x} \quad (۲۴)$$

$$y = 0, y = L, v = u = 0, \frac{\partial T}{\partial y} = 0, j_p \cdot n = 0 \Rightarrow \frac{\partial \phi}{\partial y} = 0$$

۵- حل عددی

معادلات حاکم و شرایط مزی مربوطه به صورت عددی و با استفاده از روش حجم کنترل و تهیه یک برنامه رایانه‌ای به زبان فرتون حل شده است. جمله پخش در معادلات حاکم با استفاده از طرح تفاضل مرکزی مرتبه دو؛ برای تفاضل جمله جابه‌جایی طرح عده توانی به کار رفته است. سیستم شبکه جابه‌جا شده با الگوریتم سیمپلر برای حل مولفه‌های فشار و سرعت اتخاذ شده است. دستگاه معادلات منفصل شده با استفاده از روش تکرار خط به خط و الگوریتم ماتریس سه قطری حل می‌شوند [۳۲]. برای به دست آوردن حل همگرای ضریب زیر تخفیف $9/0$ برای معادلات ممتم و انرژی و ضریب زیر تخفیف از $4/0$ تا $5/0$ برای معادله انتقال ذرات به کار گرفته شده است. لازم به ذکر است که با افزایش کسر حجمی نانوذرات از مقادیر کمتر زیر تخفیف برای انتقال نانوذرات استفاده شده است.

۶- انتخاب شبکه بهینه

بر اساس آزمایش‌های عددی مشخص شد که حل مسئله حساسیت زیادی به تعداد نقاط شبکه داشته و همچنین گرادیان شدید کسر حجمی و گردابه‌های کوچک در نزدیکی دیوارها وجود دارد، لذا انتخاب تعداد نقاط و ضریب انساط شبکه اهمیت زیادی دارد. چندین ضریب انساط شبکه مورد آزمایش قرار گرفته و ضریب انساط $1/12$ در جهت افقی و $1/05$ در

جدول ۲- مقایسه عدد ناسلت متوسط برای شبکه‌های مختلف

| نقاط شبکه | \overline{Nu} |
|-----------|-----------------|
| ۱۸۱×۱۸۱ | ۷/۰۱۵ |
| ۱۹۱×۱۹۱ | ۷/۳۶۴ |
| ۲۰۱×۲۰۱ | ۷/۹۶۶ |
| ۲۱۱×۲۱۱ | ۷/۹۶۲ |

معادله پیوستگی برای نانوسيال به صورت زیر است:

$$\frac{\partial(\rho_{nf} u)}{\partial x} + \frac{\partial(\rho_{nf} v)}{\partial y} = 0 \quad (۱۹)$$

معادله ممتومن برای نانوسيال به صورت زیر است [۲۸]:

$$\rho_{nf} \left[u \frac{\partial u}{\partial x} + v \frac{\partial u}{\partial y} \right] = \frac{\partial}{\partial x} \left[2\mu_{nf} \frac{\partial u}{\partial x} - \frac{2}{3} \mu_{nf} \left(\frac{\partial u}{\partial x} + \frac{\partial v}{\partial y} \right) \right]$$

$$+ \frac{\partial}{\partial y} \left[\mu_{nf} \left(\frac{\partial u}{\partial y} + \frac{\partial v}{\partial x} \right) \right] - \frac{\partial p}{\partial x} \quad (۲۰)$$

$$\rho_{nf} \left[u \frac{\partial v}{\partial x} + v \frac{\partial v}{\partial y} \right] = -\frac{\partial}{\partial y} \left[2\mu_{nf} \frac{\partial v}{\partial y} - \frac{2}{3} \mu_{nf} \left(\frac{\partial u}{\partial x} + \frac{\partial v}{\partial y} \right) \right]$$

$$+ \frac{\partial}{\partial x} \left[\mu_{nf} \left(\frac{\partial u}{\partial y} + \frac{\partial v}{\partial x} \right) \right] - \frac{\partial p}{\partial y} - \rho_{nf} g \quad (۲۱)$$

و معادله انرژی عبارتست از [۲۸]:

$$(\rho c_p)_{nf} \left[u \frac{\partial T}{\partial x} + v \frac{\partial T}{\partial y} \right] = \frac{\partial}{\partial x} \left(k_{nf} \frac{\partial T}{\partial x} \right)$$

$$+ \frac{\partial}{\partial y} \left(k_{nf} \frac{\partial T}{\partial y} \right) \quad (۲۲)$$

معادله انتقال ذرات بر اساس بقای جرم ذرات و با توجه به رابطه (۱۱) به صورت زیر است [۱۶]:

$$u \frac{\partial \phi}{\partial x} + v \frac{\partial \phi}{\partial y} = \left[\frac{\partial}{\partial x} \left(D_B \frac{\partial \phi}{\partial x} \right) + \frac{\partial}{\partial y} \left(D_B \frac{\partial \phi}{\partial y} \right) \right] +$$

$$\left[\frac{\partial}{\partial x} \left(D_T \frac{\partial T}{\partial x} \right) + \frac{\partial}{\partial y} \left(D_T \frac{\partial T}{\partial y} \right) \right] \quad (۲۳)$$

معادله بالا بیانگر این است که نانوذرات می‌توانند به صورت همگن توسط جابه‌جایی (جمله سمت چپ) در نانوسيال انتقال یابند. همچنین نانوذرات توسط نفوذ براوونی (جمله اول سمت

جدول ۳- عدد ناسلت متوسط در مقادیر مختلف رایلی برای آب خالص با

دانسیته متغیر: مقایسه نتایج حاضر با کار تجربی هو و همکاران [۱۲]

| خطا (%) | کار تجربی | کار حاضر | $10^{\circ}\times$ عدد رایلی |
|---------|-----------|----------|------------------------------|
| ۶/۷ | ۷/۶۹ | ۸/۲۴ | ۰/۷۶ |
| ۴/۲ | ۹/۴۴ | ۹/۸۵ | ۱/۴۲ |
| ۱/۸ | ۱۰/۳۵ | ۱۰/۵۴ | ۱/۹۳ |
| ۱/۱ | ۱۱/۲۸ | ۱۱/۴۰ | ۲/۶۷ |
| ۰/۴ | ۱۲/۰۴ | ۱۲/۰۹ | ۳/۳۳ |

۶- نتایج و بحث

هو و همکاران [۱۲] یک کار آزمایشگاهی برای بررسی جابه‌جایی طبیعی نانوسیال در یک محفظه با عرض و ارتفاع ۲۵ میلیمتر و طول ۶۰ میلیمتر انجام دادند. اختلاف دمای دیوار سرد و گرم در محدوده ۲ تا ۱۰ درجه سانتیگراد و عدد رایلی در محدود $5/۰۸ \times 10^{-۵}$ تا $3/۳۷ \times 10^{-۶}$ تغییر داده شده است. مدل انتقال در مطالعه حاضر با استفاده از داده‌های تجربی هو و همکاران کالیبره شده است. برای پیدا کردن پارامتر ترموفریسیس S_T در معادله (۹)، نتایج عددی برای نسبت ضریب جابه‌جایی نانوسیال به سیال پایه با چندین مقدار S_T به دست آمده و با نتایج تجربی هو و همکاران مقایسه شده است. مقدار بهینه S_T از حداقل قرار دادن خطای نسبی بین نتایج عددی و نتایج تجربی برابر $5/۰۳۶$ به دست آمد.

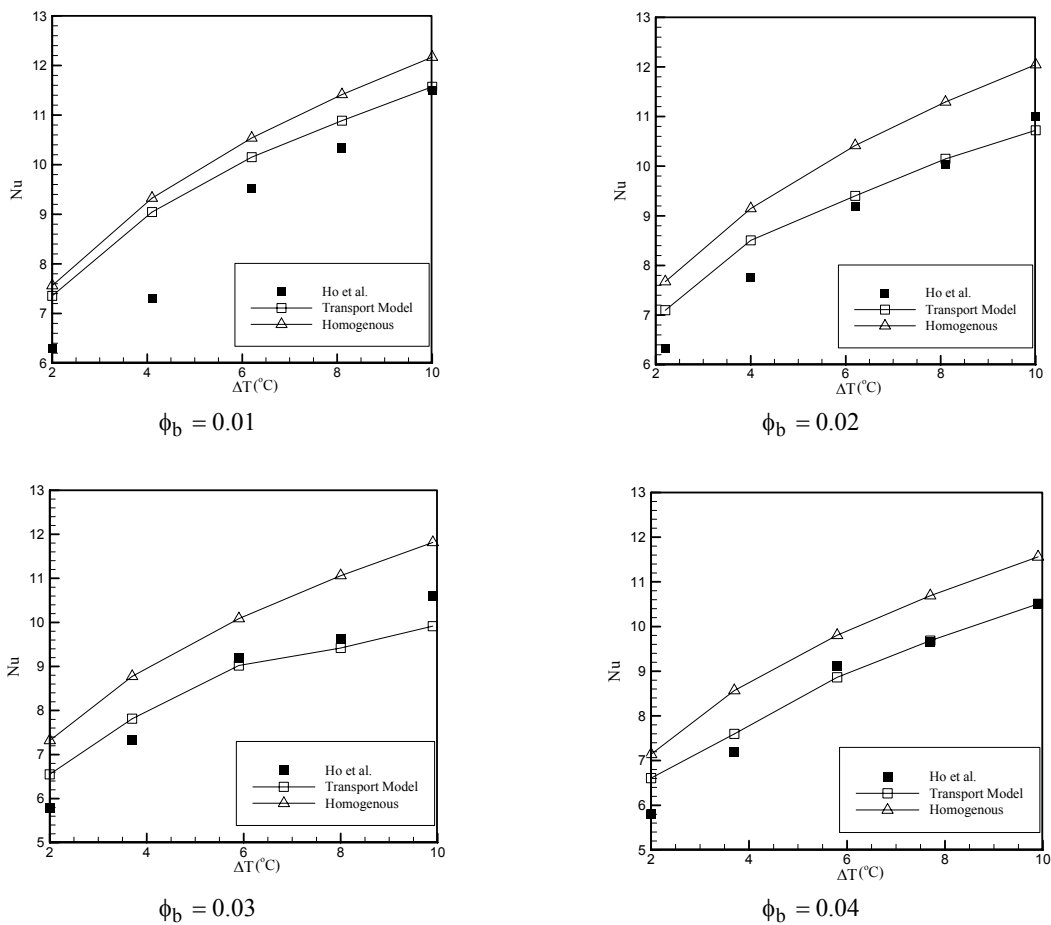
در شکل (۳) تغییرات عدد ناسلت متوسط بر حسب اختلاف دما در مقادیر مختلف کسر حجمی نشان شده است. در این شکل نتایج حاصل از مدل‌سازی عددی با مدل‌های انتقال و همگن و نتایج تجربی مقایسه شده است. خطای بین نتایج عددی و نتایج تجربی در جدول (۴) مقایسه شده است. همانطورکه مشاهده می‌شود، به جز در اختلاف دمای پایین، تطابق نسبی قابل قبولی بین مدل انتقال و نتایج تجربی وجود دارد و ماقریم اختلاف $6/۱۵\%$ است. در حالی که اختلاف مدل همگن و داده‌های تجربی بین $5/۹$ و $۲۶/۶۹\%$ است.

شکل (۴) نسبت ضریب جابه‌جایی مدل انتقال و مدل

جهت عمودی انتخاب شده است. عدد ناسلت متوسط برای شبکه‌های مختلف با تعداد نقاط 181×181 تا 211×211 در جدول (۲) مقایسه شده است. لازم به ذکر است که برای شبکه با تعداد نقاط کمتر و بیشتر از محدوده فوق، نتایج قابل قبولی از لحاظ فیزیکی حاصل نشده است. گرادیان کسر حجمینانوذرات نزدیک دیوارهای عمودی چپ و راست شدید است، بنابراین شبکه نزدیک دیوار چپ و راست بسیار ریز و از مرتبه 10^{-8} است. احتمالاً برای شبکه با نقاط بیشتر، اندازه شبکه نزدیک این دیوارها بیش از حد ریز می‌شود و خطای محاسباتی افزایش می‌یابد. ملاحظه می‌شود که در عدد ناسلت از شبکه 201×201 تا 211×211 تغییر قابل ملاحظه‌ای مشاهده نمی‌شود. با توجه به اینکه دقت نتایج و زمان محاسباتی کمتر نیاز است، شبکه 201×201 برای تمام محاسبات انتخاب شده است.

۵- بررسی صحت نتایج برای آب

حل عددی برای مدل همگن با مقایسه عدد ناسلت حاصل از کار حاضر برای اعداد رایلی مختلف با داده‌های تجربی هو و همکاران [۱۲] اعتبار سنجی شده است که در جدول (۳) ارائه شده است. مقادیر جدول (۳) نشان می‌دهد که مطابقت خوبی بین کار عددی حاضر و نتایج تجربی وجود دارد و خطای نسبی بین نتایج عددی و تجربی هو و همکاران [۱۲] در محدوده $0/۴$ تا $6/۷$ درصد است.

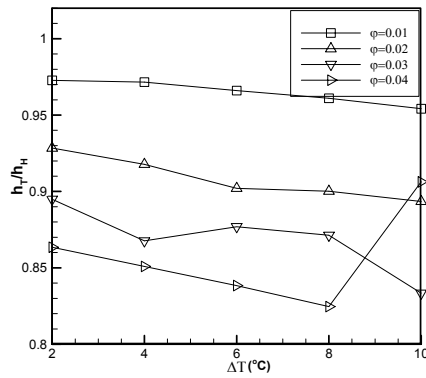


شکل ۳- تغییرات عدد ناصلت بر حسب اختلاف دمای دیوار گرم و سرد برای کسر حجمی‌های مختلف:

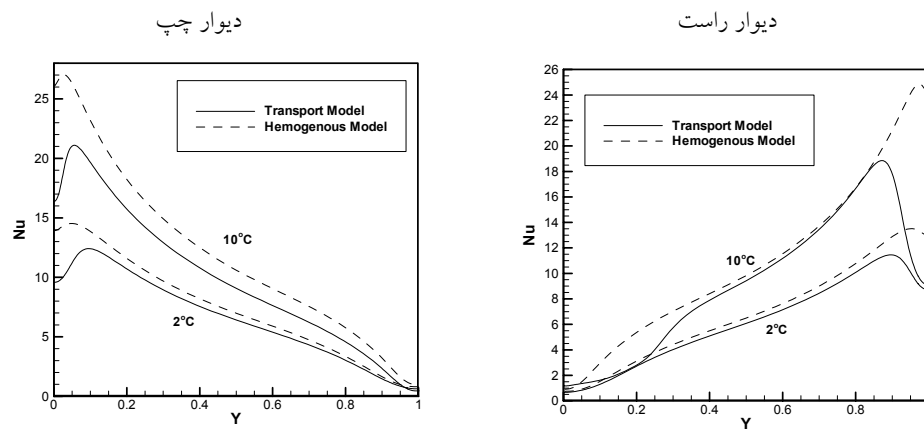
مقایسه مدل انتقال و مدل همگن با نتایج تجربی هو و همکاران [۱۲]

جدول ۴- مقایسه خطای نسبی عدد ناصلت دو مدل انتقال و مدل همگن نسبت به نتایج تجربی هو و همکاران [۱۲]

| $\phi_b = 0.01$ | | | $\phi_b = 0.02$ | | | $\phi_b = 0.03$ | | | $\phi_b = 0.04$ | | | مدل همگن |
|---------------------------|---------------|-------------|---------------------------|---------------|-------------|---------------------------|---------------|-------------|---------------------------|---------------|-------------|----------|
| ΔT $^{\circ}C$ | مدل انتقال | مدل همگن | |
| ۲/۰ | ۱۷/۰۶ | ۲۰/۳۳ | ۲/۲ | ۱۲/۰۳ | ۲۱/۱۲ | ۲/۰ | ۱۳/۳۸ | ۲۶/۶۹ | ۲/۰ | ۱۲/۶۵ | ۲۲/۸۴ | |
| ۴/۱ | ۲۴/۰۵ | ۲۷/۸۸ | ۴/۰ | ۹/۶۵ | ۱۷/۹۴ | ۳/۷ | ۷/۴۵ | ۱۹/۵۷ | ۳/۷ | ۵/۴۸ | ۱۸/۹۶ | |
| ۶/۲ | ۶/۶۷ | ۱۰/۷۰ | ۶/۲ | ۲/۳۹ | ۱۳/۴۵ | ۵/۹ | -۱/۷۹ | ۹/۸۰ | ۵/۸ | -۲/۷۹ | ۷/۵۲ | |
| ۸/۱ | ۵/۳۱ | ۱۰/۴۲ | ۸/۱ | ۱/۲۰ | ۱۲/۶۲ | ۸/۰ | -۲/۱۹ | ۱۴/۸۷ | ۷/۷ | ۰/۳۹ | ۱۰/۸۴ | |
| ۱۰/۰ | ۰/۷۱ | ۵/۹۰ | ۱۰/۰ | -۲/۵۸ | ۹/۴۳ | ۹/۹ | -۶/۵۳ | ۱۱/۳۸ | ۹/۹ | ۰/۰۵ | ۱۰/۰۵ | |



شکل ۴- تغییرات نسبت ضریب جابه‌جایی متوسط دو مدل انتقال و همگن بر حسب اختلاف دما برای کسر حجمی‌های مختلف

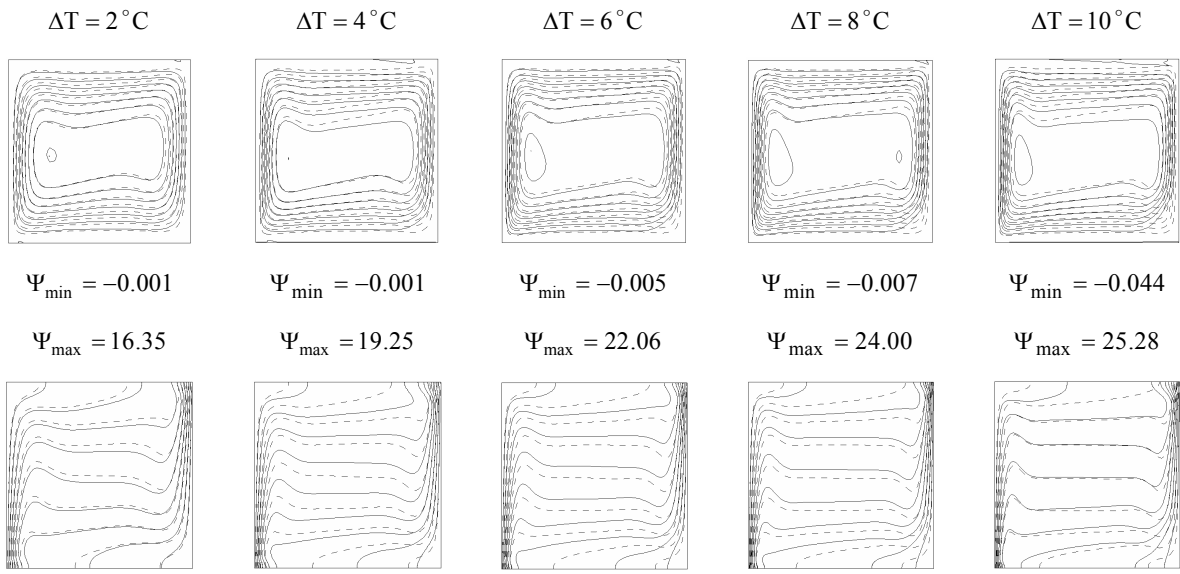


شکل ۵- عدد ناصلت موضعی روی دیوار چپ و راست برای دو مدل انتقال و همگن

همگن با افزایش اختلاف دما زیاد می‌شود. در شکل (۶) خطوط جریان و دما ثابت برای دو مدل انتقال و همگن برای کسر حجمی $\phi = 0.03$ و اختلاف دماهای 2 تا 10°C رسم شده است. گردابه‌های کوچکی در خلاف جهت گردابه اصلی در بالا سمت راست و پایین سمت چپ به وجود می‌آید. تابع جریان در این گردابه‌های کوچک منفی و دارای مقادیر بسیار کم است. برای جلوگیری از شلوغی شکل (۶) این گردابه‌های کوچک حذف شده‌اند و خطوط جریان با $\phi_b > 0.03$ رسم شده است. نمونه‌ای از این گردابه‌های کوچک برای حالت $\phi_b = 0.03$ و اختلاف دما 2°C در شکل (۷) نشان داده شده است.

همگن بر حسب اختلاف دما را برای مقادیر مختلف کسر حجمی نانوذرات نشان می‌دهد. با افزایش کسر حجمی از 0.01 تا 0.04 ضریب جابه‌جایی مدل انتقال نسبت به مدل همگن به‌جز کسر حجمی 0.04 و اختلاف دما 10°C کاهش می‌یابد.

تغییرات عدد ناصلت موضعی روی دیوار چپ و راست با مدل انتقال و مدل همگن برای $\phi = 0.03$ و اختلاف دما 2°C و 10°C در شکل (۵) نشان داده شده است. مقایسه عدد ناصلت موضعی برای دو مدل انتقال و مدل همگن نشان می‌دهد که عدد ناصلت موضعی مربوط به مدل انتقال از مدل همگن کمتر است و اختلاف آنها روی دیوار سمت راست نزدیک کف و دیوار بالایی و روی دیوار چپ نزدیک دیوار بالایی محفوظه قابل ملاحظه است. همچنین مشاهده می‌شود که اختلاف عدد ناصلت موضعی برای مدل انتقال نسبت به مدل

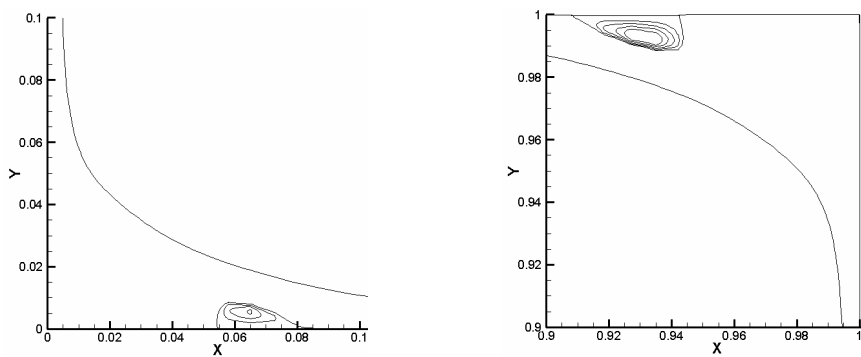


شکل ۶- مقایسه خطوط جریان و دما ثابت برای $\Phi = 0.03$ و اختلاف دماهای مختلف:
مدل انتقال(خطوط پر) و مدل همگن(خطوط خط چین)

سرد تشکیل می شود (که در آن $\Phi > 1$) و ضخامت آن روی دیوار سرد از بالا به پایین و سپس روی دیوار پایینی از راست به چپ زیاد می شود. با توجه به خطوط دما ثابت، گرادیان دما روی دیوار گرم و سرد به ترتیب از پایین به بالا و از بالا به پایین کاهش می یابد. بنابراین شار جرمی در اثر ترموفورسیس روی دیوار گرم و سرد به ترتیب از پایین به بالا و از بالا به پایین کاهش می یابد. با کاهش شار جرمی، گرادیان کسر حجمی نیز کاهش یافته و در نتیجه ضخامت لایه مرزی زیاد می شود. گرادیان کسر حجمی در مجاورت دیوار بالایی و پایینی در اثر گرادیان دما به وجود نمی آید، زیرا این دیوارها عایق گرمایی بوده و گرادیان دما وجود ندارد. گرادیان کسر حجمی در نزدیکی دیواره بالایی و پایینی ناشی از تاثیر جایه جایی جریان بر کسر حجمی است. با حرکت نانوسيال در مجاورت دیوار بالایی و پایینی نانوذرات در اثر پخش براونی نفوذ کرده و لایه مرزی رشد می کند. کاهش و افزایش کسر حجمی در لایه مرزی به ترتیب نزدیک دیوارهای گرم و سرد در اثر ترموفورسیس به وجود می آید. لازم به ذکر است که مکانیزمهای انتقال نانوذرات یعنی ترموفورسیس، پخش براونی و جایه جایی با هم در رقابت اند، بدین معنا که اثر ترموفورسیس باعث

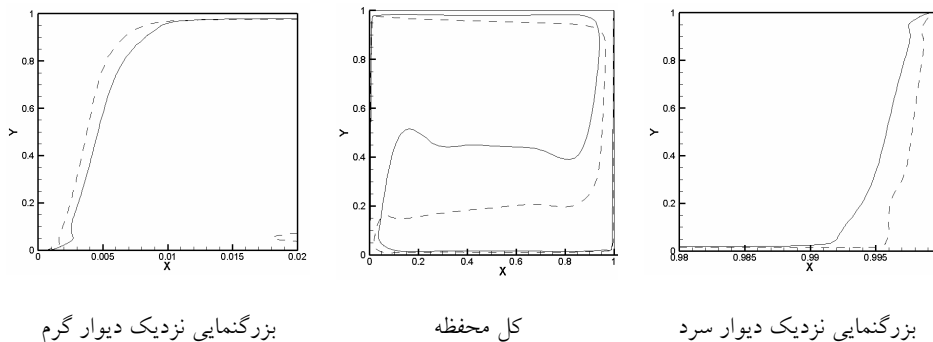
همان طور که از شکل (۶) مشاهده می شود، فاصله خطوط جریان در گوشها نسبت به مدل همگن با افزایش اختلاف دما افزایش می یابد. همچنین با افزایش اختلاف دما، گرادیان دما در گوشها نسبت به مدل همگن کاهش می یابد و این موضوع منجر به کاهش عدد ناسلت موضعی در گوشها می شود.

در اثر انتقال نانوذرات توزیع کسر حجمی نانوذرات در محفظه به وجود می آید و لذا مقدار نسبی آن (Φ) در کنار دیوار گرم کمتر از یک و در کنار دیوار سرد کمی بیشتر از یک می شود. در شکل (۸) خط ($\Phi = 1$) که به عنوان معیاری از ضخامت لایه مرزی و رشد لایه مرزی کسر حجمی در نظر گرفته شده است، در محفظه نشان داده شده است. این شکل تغییرات مورد نظر نزدیک دیوار سرد و گرم را نیز با بزرگنمایی نشان می دهد. همان‌طور که مشاهده می شود لایه مرزی نازکی از کسر حجمی در کار دیوار گرم تشکیل می شود (که در آن $\Phi < 1$) و ضخامت آن روی دیوار گرم از پایین به بالا و سپس روی دیوار بالایی از چپ به راست زیاد می شود. همچنین لایه مرزی نازکی از کسر حجمی در کنار دیوار



شکل ۷- گردابهای کوچک تشکیل شده در بالا سمت راست و در پایین سمت چپ برای $\phi_b = 0/0^3$ و

$$\Delta T = 2^\circ C$$



بزرگنمایی نزدیک دیوار گرم

کل محفظه

بزرگنمایی نزدیک دیوار سرد

شکل ۸- خط لایه مرزی کسر حجمی ($\Phi = 1$) برای $\phi_b = 0/0^3$: اختلاف دمای $2^\circ C$ (خط پر) و $10^\circ C$ (خط چین) لاف دمای $2^\circ C$ (خط پر) و $10^\circ C$ (خط چین)

با کسر حجمی است. دانسیته متغیر با کسر حجمی می‌تواند بر جمله شناوری، ρ_{nf} و همچنین جمله جابه‌جایی در معادلات ممنتم و انرژی اثر بگذارد. کاهش دانسیته ناشی از تغییرات کسر حجمی در نزدیک دیوار گرم و افزایش آن نزدیک دیوار سرد، بر افزایش نیروی شناوری تأثیر زیادی نمی‌گذارد، زیرا کاهش دانسیته در لایه نازکی به وجود می‌آید و سرعت داخل این لایه نزدیک صفر است.

۷- نتیجه‌گیری

مکانیزمهای انتقال شامل حرکت براونی و ترموفورسیس تحت عنوان مدل انتقال در جابه‌جایی طبیعی نانوسیال آب-اکسید آلومینیوم در یک محفظه مربعی به صورت عددی بررسی و نتایج آن با نتایج مدل همگن مقایسه شد. براساس نتایج ارائه

انباستگی نانوذرات در جهت گرادیان دمای منفی شده و باعث به وجود آمدن گرادیان کسر حجمی می‌شود، در حالی که پخش براونی باعث پخش نانوذرات و یا ایجاد شار جرمی در جهت گرادیان کسر حجمی منفی می‌شود. انباستگی نانوذرات در لایه مرزی نزدیک دیوار سرد و کاهش نانوذرات در لایه مرزی نزدیک دیوار گرم نشان دهنده این است که اثر ترموفورسیس بر پخش براونی غالب است.

برای پی بردن به اینکه خواص شامل دانسیته، هدایت گرمایی و ویسکوزیته متغیر بر اثر گرادیان کسر حجمی در محفظه چقدر بر انتقال گرمایی دارند، حالتی مختلط با در نظر نگرفتن تغییرات دانسیته، ویسکوزیته و ضریب هدایت گرمایی با کسر حجمی به طور جداگانه بررسی شده است [۳۳]. مشاهده شده است که عامل عملده مؤثر بر کاهش انتقال گرمایی نسبت به مدل همگن، درنظر گرفتن تغییرات دانسیته

کاهش یافته و در نتیجه انتقال گرما کاهش می‌یابد و انتقال گرمایی پیش‌بینی شده با مدل انتقال نسبت به مدل همگن نیز کاهش بیشتری می‌یابد.

۸- قدردانی

نویسنده‌گان مایل‌اند از پژوهشکده انرژی و معاونت پژوهشی دانشگاه کاشان به سبب حمایت مالی از این تحقیق تشکر نمایند.

شده موارد ذیل قابل ذکر است:

۱. با استفاده از مدل انتقال و کالیبراسیون آن با نتایج تجربی، نشان داده شد که مدل انتقال نسبت به مدل همگن با خواص معادل تطابق بهتری با نتایج تجربی دارد.
۲. مکانیزم‌های انتقال با تاثیر بر نیروی بولانسی باعث برگشت جریان و به وجود آمدن گردابه‌های کوچکی در دیوارهای بالای سمت راست و پایینی سمت چپ محفظه می‌شود که باعث کاهش عدد ناسلت موضعی در گوشه‌های محفظه می‌شود.
۳. با افزایش کسر حجمی از ۱۰٪ تا ۴۰٪ ضریب جابه‌جایی

مراجع

1. Lee, S., Choi, S.U.S., Li, S., and Eastman, J.A., "Measuring Thermal conductivity of fluids Containing Oxidenanoparticles," *ASME Transactions Journal of Heat Transfer*, Vol. 121, pp. 280–289, 1999.
2. Eastman, J.A., Choi, S.U.S., Li,W. Yu, S., and Thompson, L.J., "Anomalously Increased Effective Thermal Conductivities of Ethylene Glycol-Based Nanofluids Containing Copper Nanoparticles", *Journal of Applied Physics Letters*, Vol. 78, pp. 718–720, 2001.
3. Xuan, Y., and Li, Q., "Heat Transfer Enhancement of Nanofluids," *International Journal of Heat and Fluid Flow*, Vol. 21, pp. 58–64, 2000.
4. Khanafer, K., Vafai, K., and Lightstone, M., "Buoyancy-Driven Heat Transfer Enhancement in a Two Dimensional Enclosure Utilizing Nanofluids," *International Journal of Heat and Mass Transfer*, Vol. 46, pp. 3639-3653, 2003.
5. Jou, R., and Tzeng, S., "Numerical Research of Nature Convective Heat Transfer Enhancement Filled with Nanofluids in Rectangular Enclosures," *International Communications in Heat and Mass Transfer*, Vol. 33, pp. 727-736, 2006.
6. Oztop, H.F., and Abu-Nada, E., "Numerical Study of Natural Convection in Partially Heated Rectangular Enclosure Filled with Nanofluids". *International Journal of Heat and Fluid Flow*, Vol. 29, pp. 1326–1336, 2008.
7. Abu-Nada, E., Masoud, Z., Oztop, H. F., and Campo, A., "Effect of Nanofluid Variable Properties on Natural Convection in Enclosures," *International Journal of Thermal Sciences*, Vol. 49, pp. 479–491, 2010.
8. Sheikhzadeh, G.A., Arefmanesh, A., Kheirkhah, M.H., and Abdollahi, R., "Natural Convection of Cu-Water Nanofluid in a Cavity with Partially Active Side Walls," *European Journal of Mechanics B/Fluids*, Vol. 30, pp. 166–176, 2011.
9. شیخزاده، ق.ع. و محمودی، م.، مطالعه عددی جابه‌جایی آزاد نانوسیال در یک محفظه مربعی با وجود اجزای سرد و گرم روی دیوارهای عمودی آن، نشریه استقلال ، سال ۳۰ شماره ۱، ص ۷۹-۹۶، تابستان ۱۳۹۰
10. Putra, N., Roetzel, W., and Das, S.K., "Natural Convection of Nano-Fluids," *Heat and Mass Transfer*, Vol. 39, pp. 775-784, 2003.
11. Wen, D., and Ding, Y., "Experimental Investigation Into Convective Heat Transfer of Nanofluids at the Entrance Region under Laminar Flow Conditions," *International Journal of Heat and Mass Transfer*, Vol. 47, pp. 5181–5188, 2004.
12. Ho, C.J., Liu, W.K., Chang, Y.S., Lin, C.C., "Natural Convection Heat Transfer of Alumina-Water Nanofluid in Vertical Square Enclosures: An Experimental Study," *International Journal of Thermal Sciences*, Vol. 49, pp. 1345-1353, 2010.
13. Probstein, R.F., *Physicochemical Hydrodynamics*, Second Edition, Wiley Interscience, Hoboken, New Jersey, 2003.
14. Tyndall, J., "On Dust and Disease," *Proc. R. Inst.*, Vol. 6, pp. 1-14, 1870.
15. Bird, R. B., Stewart, W. E., Lightfoot, E. N., *Transport Phenomena*, Wiley, New York, 1960.
16. Buongiorno, J., "Convective Transports in Nanofluids," *ASME Transactions Journal of Heat Transfer*, Vol. 128, pp. 240-250, 2006.
17. Pakravan, H.A., and Yaghoubi, M., "Combined Thermophoresis, Brownian Motion and Dufour Effects on Natural Convection of Nanofluids," *International Journal of Thermal Sciences*, Vol. 50, pp. 394-402, 2011.

18. Weaver, J.A., and Viskanta, R., "Natural Convection due to Horizontal Temperature and Concentration Gradients e 2. Species Interdiffusion, Soret and Dufour Effects," *International Journal of Heat and Mass Transfer*, Vol. 34, pp. 3121-3133, 1991.
19. Nithyadevi, N., and Yang, R.J., "Double Diffusive Natural Convection in a Partially Heated Enclosure with Soret and Dufour Effects," *International Journal of Heat and Fluid Flow*, Vol. 30, pp. 902-910, 2009.
20. Khanafer, K., and Vafai, K., "A Critical Synthesis of Thermophysical Characteristics of Nanofluids," *International Journal of Heat and Mass Transfer*, Vol. 54, pp. 4410-4428, 2011.
21. Maxwell, J.C., *A Treatise on Electricity and Magnetism*, 3rd Ed., Dover, New York, 1954.
22. Hamilton, RL., and Crosser, O.K., "Thermal Conductivity of Heterogeneous two Component systems," *Industrial and Engineering Chemistry Fundamentals*, Vol. 1, pp. 187-191, 1962.
23. Einstein A., "Eine Neue Bestimmung der Molekul-Dimension (A New Determination of the Molecular Dimensions)," *Annals of Physics*, Vol. 19, pp. 289-306, 1906.
24. Einstein, A., "Berichtigung zu Meiner Arbeit: Eine Neue Bestimmung der Molekul-Dimension (Correction of My Work: a New Determination of the Molecular Dimensions)," *Annals of Physics*, Vol. 34, pp. 591-592, 1911.
25. Brinkman, H.C., "The Viscosity of Concentrated Suspensions and Solutions," *Journal of Chemical Physics*, Vol. 20, pp. 571, 1952.
26. Batchelor, G., "The Effect of Brownian Motion on the Bulk Stress in a Suspension of Spherical Particles," *The Journal of Fluid Mechanics*, Vol. 83, pp. 97-117, 1977.
27. Corcione, M., "Empirical Correlating Equations for Predicting the Effective Thermal Conductivity and Dynamic Viscosity of Nanofluids," *Energy Conversion and Management*, Vol. 52, pp. 789-793, 2011.
28. Bijan, A., *Convection Heat Transfer*, Third Edition, Wiley, NewYork, 1984.
29. Alloui, Z., Vasseur P., and Reggio M., "Natural Convection of Nanofluids in a Shallow Cavity Heated from Below," *International Journal of Thermal Sciences*, Vol. 50, pp. 1-9, 2010.
30. Aitken, J., "On the Formation of Small Clear Spaces in Dusty Air," *Royal Society of Edinburgh*, Vol. 32, pp. 239-272, 1884.
31. Zheng, F., "Thermophoresis of Spherical and Non-Spherical Particles: a Review of Theories and Experiments," *Advances in Colloid and Interface Science*, Vol. 97, pp. 255-278, 2002.
32. Patankar, S.V., *Numerical Heat Transfer and Fluid Flow*, Second ed., Hemisphere, McGraw-Hill, Washington DC, 1980.
۳۳. دستمالچی، م..، "مطالعه عددی اثر انتقال نانوذرات در جابه‌جایی طبیعی نانوپیال با خواص متغیر"، پایان نامه کارشناسی ارشد، دانشگاه کاشان، کاشان، ۱۳۹۰.